

I - 37 剛度の変化する平板理論の応用について

北大工学部 正員 茅村 仁

[I] 概説 平板理論を応用してリブ付板や格子板などの解析が行われている。しかし従来は形が矩形状のものについてはその応用であったのでその基礎となる理論は「等剛度平板」のものすなわち等厚等剛度の理論の範囲内で応用可能な場合であるが、この点へ向けて例えば円板で放射方向と円周方向に補強されたリブ付円板とか、それそれの方に向かって鉄筋を配置した鉄筋コンクリートスラブとかまた曲線格子板のように円弧方向の数多くの主筋を同時に直交する数多くの横筋から格子をつくっているものでは、放射方向にその間隔が漸減して居り一定ではない。これらは補強材の剛度を平板の剛度におけるかえて解くことを考えたと結局「板剛度が放射方向に変化する平板理論」を用ひなければならぬ。この点に着目しての理論をたゞその応用について述べた。

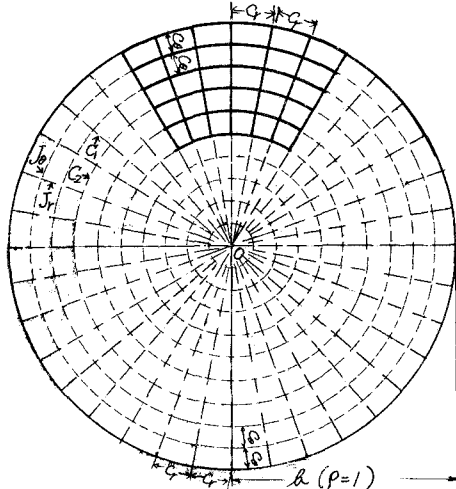
[II] 基礎式

(1) 力のつくり式

$$p = -\frac{\partial M_r}{\partial r^2} - \frac{1}{r^2} \left(\frac{\partial M_{\theta}}{\partial \theta} + \frac{\partial M_r}{\partial \theta} \right) - \frac{2}{r} \frac{\partial M_r}{\partial r} + \frac{1}{r} \frac{\partial M_{\theta}}{\partial r} - \frac{1}{r^2} \frac{\partial M_{\theta}}{\partial \theta^2} - \frac{2}{r} \frac{\partial M_{\theta}}{\partial r \partial \theta} \quad (1)$$

(2) 補強材の剛度 → 平板の剛度への置換式 ($\rho \leq 1$)

$$\left. \begin{aligned} N_r &= \frac{E J_r}{C_r \rho} \\ N_{\theta} &= \frac{E J_{\theta}}{C_{\theta}} \\ C_1 &= \frac{C_1}{C_r \rho} \\ C_2 &= \frac{C_2}{C_{\theta}} \end{aligned} \right\} \quad (2)$$



(3) 断面モーメント, J_r, J_{θ} = 曲げ剛度, C_1, C_2 = 扭り剛度

$$\left. \begin{aligned} M_r &= -\frac{E J_r}{C_r \rho^2} \frac{\partial^2 w}{\partial r^2}, & M_{\theta} &= -\frac{E J_{\theta}}{C_{\theta} \rho^2} \left[\frac{1}{\rho^2} \frac{\partial w}{\partial \rho} + \frac{1}{\rho} \frac{\partial^2 w}{\partial \theta^2} \right] \\ M_{r\theta} &= -\frac{C_1}{C_r \rho^2} \frac{\partial}{\partial \rho} \left(\frac{1}{\rho} \frac{\partial w}{\partial \theta} \right), & M_{\theta r} &= -\frac{C_2}{C_{\theta} \rho^2} \frac{\partial}{\partial \rho} \left(\frac{1}{\rho} \frac{\partial w}{\partial \theta} \right) \end{aligned} \right\} \quad (3)$$

(4) 基礎微分方程式¹⁾ ($J_r, J_{\theta}, C_1, C_2$ がすべて ρ の関数で表わされる一般の場合)

$$\left. \begin{aligned} &\frac{E J_r(\rho)}{C_r \rho} \frac{\partial^4 w}{\partial r^4} + \left[\frac{2E}{C_r \rho} \frac{d J_r(\rho)}{d \rho} \right] \frac{\partial^3 w}{\partial r^3} + 2 \frac{C_1(\rho)}{C_r \rho^2} \frac{\partial^3 w}{\partial r^2 \partial \theta^2} + \\ &+ \left[\frac{C_1(\rho)}{C_r \rho^3} - \frac{2C_2(\rho)}{C_{\theta} \rho^3} + \frac{2}{C_{\theta} \rho^2} \frac{d C_1(\rho)}{d \rho} \right] \frac{\partial^3 w}{\partial r^2 \partial \theta^2} + \left[\frac{C_1(\rho)}{C_r \rho^3} + \frac{3C_2(\rho)}{C_{\theta} \rho^4} + \frac{2E J_{\theta}(\rho)}{C_{\theta} \rho^3} \frac{d J_r(\rho)}{d \rho} \right] \frac{\partial^3 w}{\partial r^2 \partial \theta^2} - \\ &- \frac{2}{C_{\theta} \rho^3} \frac{d C_2(\rho)}{d \rho} \frac{\partial^3 w}{\partial \theta^2} + \left[\frac{E J_{\theta}(\rho)}{C_{\theta} \rho^3} - \frac{E}{C_{\theta} \rho^2} \frac{d J_{\theta}(\rho)}{d \rho} \right] \frac{\partial^3 w}{\partial \rho} + \left[\frac{1}{\rho} \frac{E}{C_r} \frac{d J_r(\rho)}{d \rho^2} - \frac{E J_r(\rho)}{\rho^2} \right] \frac{\partial^3 w}{\partial \rho^2} + \\ &- \frac{E J_r(\rho)}{C_r \rho^4} \frac{\partial^4 w}{\partial \theta^4} = p(r, \theta) \cdot k \end{aligned} \right\} \quad (4)$$

(なおこの(4)式はたとえば等厚等方性板の△△ $w = \frac{P}{\rho}$ に相当するものである)

(5) 微分方程式のθに関する有限Fourier sine変換 ($0 < \theta < \alpha$)

$$A \frac{d^4 w}{dp^4} + B \frac{d^3 w}{dp^3} + [-\beta^2 C - G] \frac{d^2 w}{dp^2} + [-\beta^2 D + F] \frac{dw}{dp} + \beta^2 [H\beta^2 - E] w = \\ = S\{p(\rho, \theta)\} \cdot b^4 - \beta \{ (C-H)[w''(\rho, 0) - (-1)^n w(\rho, \alpha)] + D[w'(\rho, 0) - (-1)^n w(\rho, \alpha)] + \\ + (E+H\beta^2)[w(\rho, 0) - (-1)^n w(\rho, \alpha)] \} \quad (5)$$

(6) 有限Fourier Cosine変換 ($0 < \theta < \alpha$)

$$A \frac{d^4 w_c}{dp^4} + B \frac{d^3 w_c}{dp^3} + [G - \beta^2 C] \frac{d^2 w_c}{dp^2} + [-\beta^2 D + F] \frac{dw_c}{dp} + \beta^2 [H\beta^2 - E] w_c = \\ = C\{p(\rho, \theta)\} \cdot b^4 + (C+H)[w'''(\rho, 0) - (-1)^n w'''(\rho, \alpha)] + D[w''(\rho, 0) - (-1)^n w''(\rho, \alpha)] + \\ + (E-H\beta^2)[w'(\rho, 0) - (-1)^n w'(\rho, \alpha)] \quad (6)$$

(8) 逆変換公式

$$w(\rho, \theta) = \frac{2}{\alpha} \sum_{n=1}^{\infty} w_n(\rho, \beta) \sin \frac{n\pi \theta}{\alpha} \quad (7)$$

$$w(\rho, \theta) = \frac{1}{\alpha} w_c(\rho, 0) + \frac{2}{\alpha} \sum_{n=1}^{\infty} w_n(\rho, \beta) \cos \frac{n\pi \theta}{\alpha} \quad (8)$$

(9) 記号

| | | |
|---|--|--|
| | J_r, J_b, C_1, C_2 がすべて p の関数で表わされる一般の場合 | $J_r, J_b = \text{Const. } \frac{J_r}{J_b} = E, \frac{C_1}{C_2} = k$ のとき $\left(\frac{EJ_r}{C_1 p} \right)$ で割った値 |
| A | $\frac{EJ_r(p)}{C_1 p}$ | 1 |
| B | $\frac{2E}{C_1 p} \frac{dJ_r(p)}{dp}$ | 0 |
| C | $2 \frac{C_2(p)}{C_1 p^2}$ | $\frac{2E C_2}{E J_r}$ |
| D | $\frac{C_1(p)}{C_1 p^4} - \frac{2C_2(p)}{C_1 p^3} + \frac{2}{C_1 p^2} \frac{dC_2(p)}{dp}$ | $\frac{C_1 - 3C_2 k p}{p^3}$ |
| E | $-\frac{C_1(p)}{C_1 p^6} + \frac{3C_2(p)}{C_1 p^4} + \frac{2EJ_r(p)}{C_1 p^4} \frac{E}{C_1 p^3} \frac{dJ_r(p)}{dp} - \frac{2}{C_1 p^3} \frac{dC_2(p)}{dp}$ | $\frac{1}{E J_r} \left[\frac{(2EEJ_r + 3C_2)kp - C_1}{p^4} \right]$ |
| F | $\frac{EJ_r(p)}{C_1 p^3} - \frac{E}{C_1 p^2} \frac{dJ_r(p)}{dp}$ | $\frac{E k}{p^2}$ |
| G | $\frac{1}{p} \frac{E}{C_1} \frac{dJ_r(p)}{dp^2} - \frac{EJ_r(p)}{p^2}$ | $-\frac{E k}{p}$ |
| H | $\frac{EJ_r(p)}{C_1 p^4}$ | $\frac{E k}{p^3}$ |

〔III〕応用

(1)補強された円板で非軸対称問題、および曲線格子桁のときは(4)(5)または(6)式が有効

(2)補強された円板で軸対称のときは(4)式中のθに関する項は0になり半微分方程式になる。

$$A \frac{d^4 w}{dp^4} + B \frac{d^3 w}{dp^3} + G \frac{d^2 w}{dp^2} + F \frac{dw}{dp} = p(\rho, \theta) \cdot b^4 \quad (9)$$

文献1)著者に、「曲線格子桁の振動波が変化する平板理論」による解法。第9回構造構造工学研究発表会論文集

「橋梁構造における新しいアプローチ」、1982.10